

## До питання моделювання адгезійної міцності захисного покриття залежно від складу та режимів отримання композиції

М. А. Долгов<sup>a</sup>, Н. М. Букетова<sup>b</sup>, Н. А. Зубрецька<sup>b</sup>

<sup>a</sup> Інститут проблем міцності ім. Г. С. Писаренка НАН України, Київ, Україна

<sup>b</sup> Херсонська державна морська академія, Херсон, Україна

<sup>b</sup> Київський національний університет технології та дизайну, Київ, Україна

*Досліжено адгезійну міцність модифікованих магнітним полем і ультрафіолетовим опроміненням епоксикомпозитних покріттів, наповнених дисперсними частинками різної фізичної природи. Методом математичного планування експерименту оптимізовано склад і режими формування захисних епоксикомпозитних покріттів.*

**Ключові слова:** епоксикомпозитне покриття, адгезійна міцність, випробування адгезійної міцності на відрив, математичне моделювання, планування експерименту, магнітна обробка, ультрафіолетове опромінення.

**Постановка проблеми.** Досягнення у галузі створення полімерних композитних матеріалів (КМ) дозволяють прогнозовано формувати композити з наперед заданими характеристиками. Прогрес у цьому напрямку пов'язаний з розширенням використання різних методів модифікування олігомерних композицій чи незалежно інгредієнтів матриці на попередній стадії формування покріттів (до введення твердника) зовнішніми енергетичними полями. Відомо, що полімерні композити під дією магнітної обробки (МО) і ультрафіолетового опромінення (УФО) суттєво змінюють свої властивості, що дозволяє розглядати їх як новий клас матеріалів – модифіковані полімерні композити [1–3]. Такі процеси модифікування, порівняно з традиційними, потребують менших енергетичних затрат, є екологічно вигідними та менш матеріалоємними.

**Аналіз досліджень.** Створення нових матеріалів на основі епоксидних систем потребує глибокого вивчення механізму їх формування в умовах впливу різних зовнішніх чинників, врахування комплексу фізико-механічних явищ, які визначають процеси міжфазної взаємодії та забезпечення технологічних режимів їх формування [3, 4]. У зв'язку зі складними структурними характеристиками і, як наслідок, властивостями КМ у сформованому вигляді, необхідністю врахування швидкості перебігу процесів зшивання під впливом енергетичних полів і дисперсних частинок різної фізичної природи, багатофакторністю процесів формування композитних систем на сьогодні відсутній єдиний науково обґрунтований підхід до оцінки різних методів їх отримання [4, 5].

Мета роботи полягає у дослідженні впливу дисперсних наповнювачів різної фізичної природи і режимів обробки композицій на адгезійну міцність КМ для оптимізації складу і технологічних аспектів формування покріттів із поліпшеними властивостями.

**Матеріали і методика дослідження.** Покриття формували на основі епоксидного олігомеру марки ЕД-20 (100 мас.ч), який зшивали твердником поліетиленполіаміном (10 мас.ч). Для поліпшення адгезійних властивостей композитних покріттів (КП) у композицію вводили дисперсні частинки. Основним наповнювачем слугував порошок цементу марки 400 дисперсністю 63 мкм, додатковим – газова сажа дисперсністю 10...20 мкм.

Магнітну обробку композиції здійснювали на розробленій раніше [6] установці до введення твердника упродовж 5...7 хв. Напруженість магнітного поля становила 500...530 А/м. Композицію, що мала товщину шару  $h = 25\ldots30$  мм, опромінювали за допомогою ультрафіолетового випромінювача з використанням бактерицидної лампи ДРБ-8-1 [6]. Тривалість опромінення композицій (без твердника)  $t = (20 \pm 0,2)$  хв, їх вага сягала  $(200 \pm 10)$  г.

Затвердіння КП проводили за експериментально встановленим режимом: формування зразків та їх витримка упродовж 2 годин за температури  $(293 \pm 2)$  К; нагрівання до температури 443 К і витримка упродовж 2 годин; охолодження до температури  $(293 \pm 2)$  К. Із метою стабілізації структурних процесів у матриці зразки витримували упродовж 60 годин на повітрі за температури  $(293 \pm 2)$  К [6, 7].

Дослідження адгезійної міцності  $\sigma_a$  проводили згідно з ГОСТ 14760-69, вимірюючи опір відриву клейових з'єднань сталевих зразків на розривній машині Р-5 при швидкості навантаження 10 Н/с. Оптимізацію складу компонентів КП і режимів їх обробки енергетичними полями проводили за методом багатофакторного планування експерименту [8].

**Обговорення експериментальних результатів.** Відомо, що введення інгредієнтів при оптимальному вмісті і з різною дисперсністю у композицію забезпечує максимальне поліпшення властивостей КМ [5–7]. Тому при формуванні КМ використовували двокомпонентний полідисперсний наповнювач. Вміст основного наповнювача вибрали на основі результатів досліджень адгезійної міцності і фізико-механічних властивостей КМ. Показано, що оптимальний вміст основного наповнювача дисперсністю 63 мкм становить 80 мас.ч на 100 мас.ч епоксидної смоли [6]. Із метою поліпшення міжфазної взаємодії і відповідно підвищення адгезійних та когезійних характеристик матеріалу у КП додатково вводили дрібнодисперсний наповнювач (від 5 до 80 мас.ч на 100 мас.ч епоксидної смоли).

Для опису процесу формування покріттів використовували план повного факторного експерименту  $2^3$ . Параметром оптимізації слугувала адгезійна міцність захисних покріттів. Незалежні змінні (фактори) формування матеріалів:  $X_1$ ,  $X_2$  – вміст основного і додаткового наповнювачів відповідно;  $X_3$  – спосіб комплексної обробки композицій енергетичними полями.

Фактор  $X_3$  вибрано на основі результатів досліджень адгезійної міцності захисних покріттів із двокомпонентним полідисперсним наповнювачем. Для покриття з частинками цементу і газової сажі встановлено два оптимальних варіанти комплексної обробки (табл. 1). Враховуючи результати досліджень адгезійної міцності захисних покріттів при оптимальному вмісті наповнювача, можна стверджувати, що обробка композицій за першим варіантом забезпечує поліпшення адгезійної міцності у 1,072 раза. Відповідно фактор  $X_3$  для другого варіанту прийняли рівним 1,000, для першого – 1,072.

Т а б л и ц я 1

## Склад компонентів покріттів та варіанти їх модифікування

Наповнювач (мас.ч на 100 мас.ч епоксидної смоли)		Варіант модифікування	
Цемент (основний)	Газова сажа (додатковий)	Перший	Другий
80	20	УФО смоли ЕД-20 із подальшою МО наповнювача	УФО композиції з її подальшою МО

Т а б л и ц я 2

## Кодування вхідних факторів

Рівні варіювання факторів	Натуральні значення вхідних факторів		
	$X_1$	$X_2$	$X_3$
Нульовий рівень $X_{0i}$	80	20	–
Інтервал варіацій $\Delta X_i$	20	10	–
Верхній рівень ( $X_i = +1$ )	100	30	1,072
Нижній рівень ( $X_i = -1$ )	60	10	1,000
Зіркова точка ( $+ \alpha = +1,215$ )	104	32	–
Зіркова точка ( $- \alpha = -1,215$ )	56	8	–

Кодування факторів незалежних змінних для КП представлено у табл. 2. Відповідно до плану експерименту досліджували 15 комбінацій вхідних факторів формування КП. Розширенна матриця планування та результати експерименту наведено у табл. 3.

Для статистичної обробки отриманих результатів експерименту проведено перевірку відтворюваності дослідів за критерієм Кохрена [8]:

$$G_p = \frac{S_{u \max}^2}{\sum_{u=1}^n S_u^2} \leq G_{T(0,05; f_n; f_u)}, \quad (1)$$

де  $S_u^2$  – дисперсія розсіювання результатів дослідів на  $i$ -му поєднанні рівнів факторів для  $m=2$ ,  $S_u^2 = \Delta^2/2$ ;  $m$  – кількість паралельних дослідів;  $S_{u \max}^2$  – найбільша з дисперсій;  $G_{T(0,05; f_n; f_u)}$  – табличне значення критерію Кохрена при 5%-ному рівні значущості;  $f_n$  – кількість незалежних оцінок дисперсії,  $f_n = n$ ;  $f_u$  – кількість ступенів вільності кожної оцінки,  $f_u = m-1$ .

Коефіцієнти регресії розраховували за формулами:

$$b_0 = \frac{1}{n} \sum_{u=1}^n \bar{y}_u; \quad (2)$$

Таблиця 3

## Розширенна матриця планиування та результати дослідження адгезійної міцності покрітів

№ досліду	$X_0$	$X_1$	$X_2$	$X_3$	$X_1^2 - 11/15$	$X_2^2 - 11/15$	$X_3^2 - 11/15$	$X_1 X_2$	$X_1 X_3$	$X_2 X_3$	$X_1 X_2 X_3$	$\sigma_a, \text{МПа}$
								$X_1 X_2 X_3$	$X_1 X_2$	$X_1 X_3$	$X_2 X_3$	
$X_1$	$X_2$	$X_3$	$X_1$	$X_2$	$X_3$	$X_1$	$X_2$	$X_3$	$X_1$	$X_2$	$X_3$	$\sigma_a$
1	+1	-1	-1	+1	0,27	0,27	+1	+1	-1	+1	+1	64,3
2	+1	+1	-1	-1	0,27	0,27	-1	-1	+1	+1	+1	62,1
3	+1	-1	+1	-1	0,27	0,27	-1	+1	-1	+1	+1	67,5
4	+1	+1	+1	+1	0,27	0,27	+1	+1	+1	+1	+1	65,3
5	+1	-1	-1	-1	0,27	0,27	+1	+1	+1	-1	-1	62,4
6	+1	+1	-1	-1	0,27	0,27	-1	+1	-1	-1	-1	68,4
7	+1	-1	+1	+1	0,27	0,27	-1	-1	+1	-1	-1	69,9
8	+1	+1	+1	-1	0,27	0,27	+1	-1	-1	-1	-1	65,2
9	+1	-1,215	0	0	0,74	-0,73	-0,73	0	0	0	0	63,9
10	+1	+1,215	0	0	0,74	-0,73	-0,73	0	0	0	0	67,2
11	+1	0	-1,215	0	-0,73	0,74	-0,73	0	0	0	0	68,8
12	+1	0	+1,215	0	-0,73	0,74	-0,73	0	0	0	0	65,9
13	+1	0	0	-1,215	0	-0,73	-0,73	0,74	0	0	0	68,8
14	+1	0	0	+1,215	-0,73	-0,73	0,74	0	0	0	0	69,4
15	+1	0	0	0	-0,73	-0,73	-0,73	0	0	0	0	64,1
												64,7

$$b_i = \frac{1}{n} \sum_{u=1}^n X_{i_u} \bar{y}_u; \quad (3)$$

$$b_{ij} = \frac{1}{n} \sum_{u=1}^n X_{i_u} X_{j_u} \bar{y}_u, \quad (4)$$

де  $X_{i_u}$  – значення незалежних змінних;  $\bar{y}_u$  – показники властивостей КП.

Значущість коефіцієнтів регресії визначали за критерієм Стьюдента:

$$|b_i| \geq \Delta b_i = t_{(0,05; f_y)} \frac{s_y}{\sqrt{n}}, \quad (5)$$

де  $S_y^2$  – дисперсія відтворення (помилка досліду),  $S_y^2 = \frac{1}{n} \sum_{u=1}^n S_u^2$ ;  $t_{(0,05; f_y)}$  – 5%-на точка розподілу Стьюдента з  $f_y$  ступенями вільності.

Рівняння регресії з урахуванням значущих факторів та перетворення квадратичної змінної записується у загальному вигляді:

$$Y = b'_0 + \sum_{1 \leq i \leq j \leq k} b_{ij} X_i X_j + \sum_{1 \leq i \leq k} b_{ii} (X_i^2 - \varphi), \quad (6)$$

де  $\varphi$  – коефіцієнт дисперсії відтворення.

Для того щоб перейти до звичайної форми запису рівняння регресії, знаходять величину вільного члена

$$b_0 = b'_0 - \sum_{1 \leq i \leq k} \varphi b_{ii}, \quad (7)$$

яка оцінюється з дисперсією  $S_{b'_0}^2 = S_{b'_0}^2 + \sum_{1 \leq i \leq k} \varphi^2 S_{b_{ii}}^2$ .

Адекватність отриманої моделі перевіряли за критерієм Фішера:

$$F_p = \frac{S_{\text{ад}}^2}{S_y^2} \leq F_{T(0,05; f_{\text{ад}}; f_y)}, \quad (8)$$

де  $S_{\text{ад}}^2$  – розрахункове значення дисперсії адекватності,  $S_{\text{ад}}^2 = \frac{1}{n-k-1} \times \sum_{u=1}^n (\bar{y}_u - y_u)^2$ ;  $F_{T(0,05; f_{\text{ад}}; f_y)}$  – табличне значення критерію Фішера при 5%-ному рівні значущості;  $S_{\text{ад}}^2 = \frac{0,15}{5} = 0,03$ ;  $f_{\text{ад}}$  – кількість ступенів вільності

ISSN 0556-171X. Проблемы прочности, 2012, № 2

ті дисперсій адекватності,  $f_{\text{ад}} = n - \frac{(k+2)(k+1)}{2} = 15 - \frac{5 \cdot 4}{2} = 5$ ;  $f_y$  – кількість ступенів вільності дисперсії відтворюваності,  $f_y = 4$  [8].

Послідовність статистичного аналізу даних реалізовано у програмі MS Excel. Результати моделювання адгезійної міцності захисного покриття залежно від складу та режимів отримання композиції наведено у табл. 4.

Перевірка даних експерименту за критерієм Кохрена [8] для фіксованої імовірності  $P = 0,05$  підтвердила відтворюваність дослідів. Дисперсія  $S_u^2$  розсіювання результатів дослідів на  $i$ -му поєднанні рівнів факторів дорівнює 4,35. Розрахункове значення критерію Кохрена:  $G_{p(0,05;15;1)} = 0,17$ , табличне значення  $G_{t(0,05;15;1)} = 0,47$ . Після підтвердження відтворюваності експерименту знаходили коефіцієнти регресії.

Значущість коефіцієнтів регресії визначили за критерієм Стьюдента [8]. Табличне значення коефіцієнта Стьюдента:  $t_{(0,05;15)} = 2,13$ . Дисперсія відтворення (помилка досліду):  $S_y^2 = 0,29$ . Розрахункове значення критерію Стьюдента:  $\Delta b_i = 0,30$ . За отриманими експериментальними даними рівняння регресії (6) з урахуванням відкидання незначущих коефіцієнтів має такий вигляд:

$$Y = 66,04 + 0,55X_2 + 1,42X_3 - 1,27X_1X_2 + 0,71X_1X_3 - \\ - 0,35(X_1^2 - 11/15) + 0,85(X_2^2 - 11/15) - 0,5(X_3^2 - 11/15).$$

Величина вільного члена  $b_0$  рівняння регресії буде

$$b_0 = 66,04 - 0,73(-0,35 + 0,85 - 0,5) = 66,04..$$

З урахуванням перетворення квадратичної змінної рівняння регресії має вигляд:

$$Y = 66,04 + 0,55X_2 + 1,42X_3 - 1,27X_1X_2 + 0,71X_1X_3 - \\ - 0,35X_1^2 + 0,85X_2^2 - 0,5X_3^2.$$

Адекватність отриманої математичної моделі перевіряли за критерієм Фішера [8]. Розрахункове значення дисперсії адекватності:  $S_{\text{ад}}^2 = 1,79$ . Розрахункове значення критерію Фішера:  $F_p = 6,21$ , табличне значення при 5%-ному рівні значущості:  $F_{t(0,05;f_{\text{ад}};f_u)} = F_{t(0,05;5;4)} = 6,26$ .

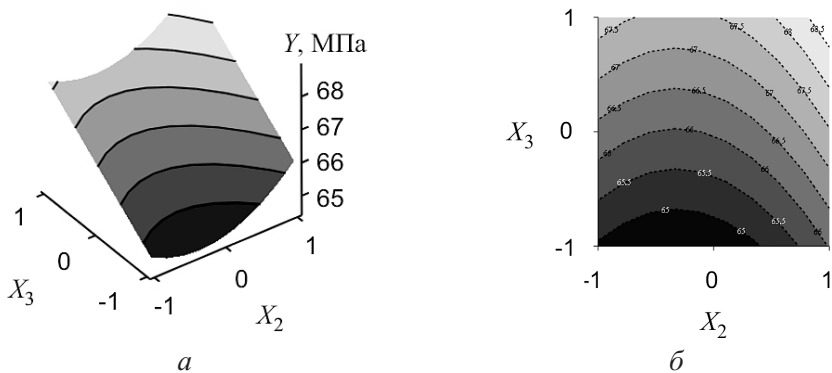
Оскільки  $F_p < F_t$ , можна вважати, що рівняння адекватно описує вплив складу та режимів отримання композиції на експлуатаційні характеристики покриття. Графічну інтерпретацію отриманого рівняння регресії відносно експериментальних значень адгезійної міцності захисного покриття наведено на рисунку.

Найбільш значущими факторами є співвідношення між вмістом основного і додаткового наповнювачів та спосіб обробки композиції. Виходячи з цього, вміст наповнювачів необхідно залишити у вибраному співвідношенні. Не менш важливим є також спосіб модифікування епоксидних композицій енергетичними полями, оскільки значення коефіцієнта регресії при факторі

Т а б л и ц я 4  
Результати моделювання адгезійної міцності захисного покриття залежно від складу та режимів отримання композиції

№ досліду	$X_0$	$X_1$	$X_2$	$X_3$	$X_1^2 - 0,73$	$X_2^2 - 0,73$	$X_3^2 - 0,73$	$X_1X_2$	$X_1X_3$	$X_2X_3$	$Y_1$	$Y_2$	$Y$	$S_u^2$	$Y_p$
1	1	-1	-1	-1	0,27	0,27	0,27	1	1	1	64,3	65,4	64,85	0,61	63,22
2	1	1	-1	-1	0,27	0,27	0,27	-1	-1	1	62,1	63,3	62,70	0,72	64,68
3	1	-1	1	-1	0,27	0,27	0,27	-1	1	-1	67,2	67,5	67,35	0,04	67,10
4	1	1	1	-1	0,27	0,27	0,27	1	-1	-1	65,3	65,8	65,55	0,13	63,49
5	1	-1	-1	1	0,27	0,27	0,27	1	-1	-1	62,4	63,1	62,75	0,25	64,89
6	1	1	-1	1	0,27	0,27	0,27	-1	1	-1	68,4	69,3	68,85	0,40	67,77
7	1	-1	1	1	0,27	0,27	0,27	-1	-1	1	69,9	70,5	70,20	0,18	68,29
8	1	1	1	1	0,27	0,27	0,27	1	1	1	65,2	66,4	65,80	0,72	67,51
9	1	-1,215	0	0	0,74	-0,73	-0,73	0	0	0	63,9	64,4	64,15	0,13	65,33
10	1	1,215	0	0	0,74	-0,73	-0,73	0	0	0	67,2	67,9	67,55	0,25	65,74
11	1	0	0	0	-0,73	0,74	-0,73	0	0	0	68,8	69,5	69,15	0,25	66,62
12	1	0	0	0	-0,73	0,74	-0,73	0	0	0	65,9	66,3	66,10	0,08	67,96
13	1	0	-1,215	-1,215	-0,73	-0,73	0,74	0	0	0	61,8	62,5	62,15	0,25	63,58
14	1	0	1,215	1,215	-0,73	-0,73	0,74	0	0	0	68,8	69,4	69,10	0,18	67,04
15	1	0	0	0	-0,73	-0,73	-0,73	0	0	0	64,1	64,7	64,40	0,18	66,05
												990,65	4,35		

№ досліду	Продовження табл. 4					
	$X_0Y$	$X_1Y$	$X_2Y$	$X_3Y$	$(X_1^2 - 0,73)Y$	$(X_2^2 - 0,73)Y$
1	64,85	-64,85	-64,85	-64,85	17,51	17,51
2	62,70	62,70	-62,70	-62,70	16,93	16,93
3	67,35	-67,35	67,35	-67,35	18,18	18,18
4	65,55	65,55	65,55	-65,55	17,70	17,70
5	62,75	-62,75	-62,75	62,75	16,94	16,94
6	68,85	68,85	-68,85	68,85	18,59	18,59
7	70,20	-70,20	70,20	70,20	18,95	18,95
8	65,80	65,80	65,80	65,80	17,77	17,77
9	64,15	-77,94	0	0,00	47,47	-46,83
10	67,35	82,07	0	0,00	49,99	-49,31
11	69,15	0	-84,02	0,00	-50,48	51,17
12	66,10	0	80,31	0,00	-48,25	48,91
13	62,15	0	0	-75,51	-45,37	-50,48
14	69,10	0	0	83,96	-50,44	48,25
15	64,40	0	0	0	-47,01	47,01
	990,65	1,88	6,04	15,59	-1,5255	3,693



Поверхня відгуку (а) і лінії рівнів (б) адгезійної міцності покриття при  $X_1 = 0$ .

$X_3$  є максимальним за абсолютною величиною. Тому доцільним є такий спосіб обробки: УФО смоли ЕД-20 із подальшою МО наповнювача.

## Висновки

1. Методом математичного планування експерименту визначено оптимальні технологічні режими та вміст інгредієнтів композиції, що дає можливість отримати захисні покриття з прогнозованими властивостями.
2. Розроблено способи модифікування епоксидних композицій і матеріали для захисних покріттів, сформованих за запропонованими технологіями.
3. Встановлено оптимальний вміст двокомпонентного полідисперсного наповнювача і розроблено схему попередньої комплексної обробки композицій енергетичними полями, що дозволяє регулювати експлуатаційні характеристики матеріалів.

## Резюме

Исследована адгезионная прочность модифицированных магнитным полем и ультрафиолетовым облучением эпоксикомпозитных покрытий, наполненных дисперсными частицами различной физической природы. Методом математического планирования эксперимента оптимизированы состав и режимы формирования защитных эпоксикомпозитных покрытий.

1. Radhakrishnan S., Sonawane N., and Siju C. R. Epoxy powder coatings containing polyaniline for enhanced corrosion protection // Progress Organic Coat. – 2009. – **64**, No. 4. – P. 383 – 386.
2. Shao Y., Huang H., Zhang T., et al. Corrosion protection of Mg–5Li alloy with epoxy coatings containing polyaniline // Corrosion Sci. – 2009. – **51**, No. 12. – P. 2906 – 2915.
3. Букетов А. В., Стухляк П. Д., Добротвор І. Г. та ін. Вплив природи наповнювачів і ультрафіолетового опромінення на механічні властивості епоксикомпозитних покріттів // Пробл. прочности. – 2009. – № 4. – С. 117 – 123.

4. Долгов М. А., Зубрецька Н. А., Букетов А. В., Стухляк П. Д. Використання методу математичного планування експерименту для оцінки адгезійної міцності захисних покрівок, модифікованих енергетичними полями // Пробл. прочности. – 2012. – № 1. – С. 111 – 118.
5. Buketov A. V. Improvement of the accuracy of evaluation of the dynamic characteristics of epoxy composites // Mater. Sci. – 2006. – **42**, No. 4. – P. 569 – 571.
6. Букетов А. В., Стухляк П. Д., Левицький В. В. и др. Дослідження повзучості в агресивних середовищах епоксидних композитів із безперервними волокнами і модифікованим дисперсним наповнювачем // Пробл. прочности. – 2011. – № 3. – С. 141 – 153.
7. Dobrotvor I. H., Stukhylak P. D., and Buketov A. V. Determination of the ranges of the optimal content of a dispersed filler in epoxy composites // Mater. Sci. – 2009. – **45**, No. 6. – P. 790 – 797.
8. Винарский М. С., Лурье М. В. Планирование эксперимента в технологических исследованиях. – Киев: Техника, 1975. – 168 с.

Поступила 24. 11. 2010